

研究简报

海洋腐植质的研究

IV. 黄河口海水和沉积物中腐植质的分布*

曹文达 裴香荃 韩丽君
(中国科学院海洋研究所, 青岛)

黄河是我国第二大河, 素以含砂量高而著称于世, 每年平均有 12 亿吨泥沙输送至河口^[2], 其中约有三分之二淤积在三角洲前沿, 使黄河河道在三角洲上交替改变, 河口不断地延伸、摆动, 演变剧烈, 构成了河口区特殊的水文和地球化学特征。为了配合中国科学院海洋研究所 1984 年对黄河口进行综合调查, 作者于同年春季和夏季对河口及其毗邻海区的腐植质 (HS) 和乙醇可溶物 (ES)^[1] 含量进行了测定。本文根据测定结果就 HS 在海水和沉积物中的分布特点及相关因素作初步探讨。

一、采样和实验方法

1. 样品的采集和处理

1984 年 5 月和 8 月在黄河口 $118^{\circ}30' - 119^{\circ}40'E$, $37^{\circ}15' - 38^{\circ}11'N$ 区域采集了 18 个站位的表层水样和沉积物样品, 站位见图 1。每个站位采集水样 50L, 加 6mol/L HCl 调节水样至 $pH = 2$, 沉积物样品立即在船上 $105^{\circ}C$ 烘干, 磨细过筛(80 目)。

2. 样品分析

海水和沉积物中 HS 的分析方法参阅文献 [5, 6]。

二、结果与讨论

1. 黄河口海水 HS 和 ES 的分布特征

(1) 黄河口海水 HS 和 ES 的浓度

表 1 列出了 1984 年黄河下游(4 月)和河口区(5 月)各站的 HS 和 ES 的浓度。黄河下游各站的浓度变化不大, 而在河口区 HS 和 ES 变动范围较大。31 站和 34 站正位于口门前方, 受黄河径流中有机物的影响较大, 而且春季又是浮游植物生长的高峰季节, 口门处水质的营养元素丰富, 浮游植物生长密度大, 它们除了向海水中分泌有机物质外, 其尸骸又是 HS 的重要来源; 所以春季口门处 HS 和 ES 浓度较高, 这不仅是受到陆源有机物的影响, 内部来源的有机物也起重要作用。

* 中国科学院海洋研究所调查研究报告第 1279 号。
收稿日期: 1985 年 11 月 20 日。

表 1 1984 年 4—5 月黄河口 HS, ES 浓度和盐度的变化

Tab. 1 Variation of HS, ES concentration and salinity in Huanghe River estuary
in Apr. to May 1984

| 站号 | 采水日期 | HS 浓度 ($\mu\text{g/L}$) | ES 浓度 ($\mu\text{g/L}$) | HS + ES 浓度 ($\mu\text{g/L}$) | $S(\%)$ |
|-----------------------------------|-----------|------------------------------|------------------------------|-----------------------------------|---------|
| 黄河 下 游 | 1984.4.25 | 401.07 | 538.11 | 939.18 | 0.083 |
| | 4.24 | 397.30 | 548.00 | 945.30 | 0.090 |
| | 4.23 | 402.57 | 490.44 | 893.01 | 0.116 |
| | 4.22 | 417.61 | 579.41 | 997.02 | 0.100 |
| 平均 \bar{x} | | 404.64 | 538.99 | 943.63 | 0.097 |
| 河 口 区 | 1984.5.25 | 335.86 | 598.62 | 934.48 | 29.783 |
| | 5.25 | 308.89 | 525.92 | 834.81 | 30.607 |
| | 5.25 | 321.67 | 505.60 | 827.27 | 29.642 |
| | 5.24 | 351.64 | 577.10 | 892.74 | 28.554 |
| | 5.24 | 338.86 | 540.51 | 879.37 | 27.522 |
| | 5.23 | 533.00 | 650.91 | 1183.91 | 16.926 |
| | 5.23 | 398.06 | 530.63 | 928.68 | 26.537 |
| | 5.23 | 500.01 | 743.85 | 1243.86 | 13.068 |
| | 5.23 | 388.38 | 578.85 | 967.23 | 26.985 |
| | 5.23 | 404.08 | 577.65 | 981.73 | 27.446 |
| | 5.23 | 356.91 | 558.53 | 915.44 | 27.489 |
| 平均 \bar{x} 与 $S(\%)$ 相关性 r | | 385.21 -0.93 | 580.74 -0.89 | 965.96 -0.96 | 25.869 |

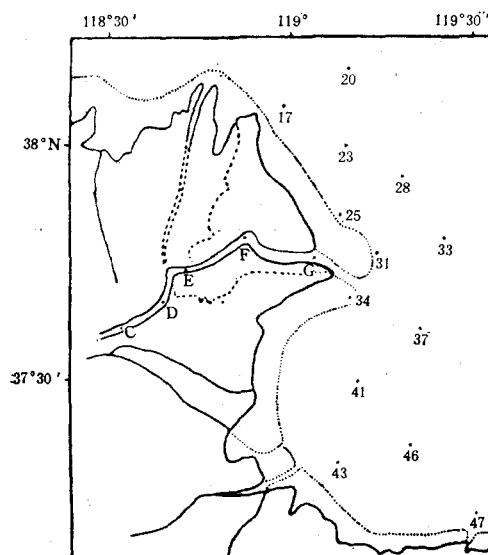
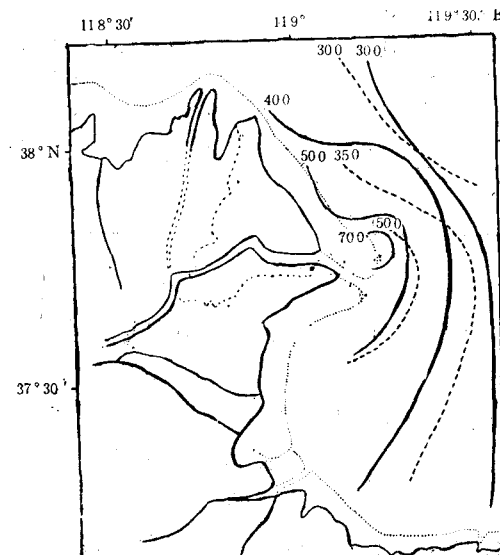
图 1 采样站位
Fig. 1 Sampling stations图 2 1984 年 5 月和 8 月黄河
口海水中 HS 的分布 ($\mu\text{g/L}$)

Fig. 2 Distribution of HS in seawater of Huanghe River estuary in May and Aug. 1984 ($\mu\text{g/L}$)
 ----May; ——Aug.
 ----5月; ——8月。

夏季, 黄河流域雨量增加, 许多陆地有机物随雨水流入黄河, 河水中所含有机物浓度增加, 8月黄河下游河水中 HS 和 ES 的平均浓度明显高于同年枯水期河水中的浓度。河口区, HS 和 ES 浓度也随季节而变化, 8月 HS 和 ES 的平均浓度均高于 5月同一海域的浓度(表 2), 显然这是与黄河径流的影响分不开的。夏天, 黄河水的有机物含量高, 排水量又大, 向河口区输入的有机物总量增多, 因此河口区 HS 和 ES 浓度较高, 这主要是受陆源有机物的影响。

表 2 1984 年 8 月黄河口 HS,ES 浓度和盐度的变化

Tab. 2 Variation of HS,ES concentration and salinity in Huanghe River estuary in Aug. 1984

| 站 号 | 采水日期 | HS 浓度 ($\mu\text{g}/\text{L}$) | ES 浓度 ($\mu\text{g}/\text{L}$) | HS + ES 浓度 ($\mu\text{g}/\text{L}$) | $S(\%)$ |
|-----------------------------------|-----------|-------------------------------------|-------------------------------------|--|---------|
| 黄河 C | 1984.7.31 | 757.22 | 813.58 | 1570.80 | |
| 下 游 E | 7.31 | 937.07 | 656.72 | 1593.79 | |
| 平均 \bar{x} | | 847.15 | 735.15 | 1582.30 | |
| 17 | 1984.8.18 | 321.67 | 478.90 | 800.57 | 31.823 |
| 20 | 8.18 | 314.90 | 483.52 | 798.42 | 32.288 |
| 23 | 8.18 | 404.83 | 615.98 | 1020.81 | 26.635 |
| 河 25 | 8.19 | 434.80 | 570.72 | 1005.52 | 26.684 |
| 28 | 8.19 | 449.84 | 598.62 | 1048.46 | 23.544 |
| 31 | 8.19 | 745.94 | 813.58 | 1559.52 | 2.553 |
| 口 33 | 8.19 | 394.30 | 627.62 | 1021.92 | 27.272 |
| 34 | 8.23 | 502.28 | 548.00 | 1050.28 | 18.572 |
| 区 37 | 8.23 | 426.53 | 586.99 | 1013.52 | 24.530 |
| 41 | 8.23 | 497.76 | 586.99 | 1084.75 | 19.909 |
| 43 | 8.23 | 475.31 | 645.09 | 1120.40 | 23.128 |
| 46 | 8.23 | 351.64 | 521.85 | 873.49 | 25.064 |
| 47 | 8.23 | 308.89 | 685.73 | 994.62 | 27.713 |
| 平均 \bar{x} 与 $S(\%)$ 相关性 r | | 432.98 -0.96 | 597.20 -0.75 | 1030.18 -0.94 | 23.824 |

(2) 黄河口海水 HS 的分布

黄河口及其毗邻海域中 HS 的主要分布特点是, 河口浓度最高, 有规律地由河口向外递降。从河口向北和东北的递降速度较快, 向南较慢, 这与黄河水主要向南扩散有关^[3]。5月和8月 HS 在河口区的分布趋势基本相似, 8月的浓度较高(图 2)。

(3) 黄河口海水 ES 的分布

5月, 黄河口 ES 的浓度分布趋势与 HS 的基本一致, 即河口浓度较高, 从河口向外有规律地递降, 因受水文条件影响, 向南的递降速度较慢。8月, 黄河径流量增大, ES 浓度由河口向东呈舌状分布。莱州湾的 47 和 43 站, 分别靠近小清河和潍河出口, 各自受到这两条河径流的影响, ES 的浓度也都出现小的舌状分布(图 3)。

(4) 黄河口 HS, ES 和 $S(\%)$ 之间关系

黄河口及其毗邻海域盐度受黄河径流影响, 春季盐度高于夏季(表 1, 2)。由图 4 可以看到, 8月在黄河口有一个明显的低盐舌区, 逐渐向南扩散; 在河口以北 $38^{\circ}05'N$ 处, 从

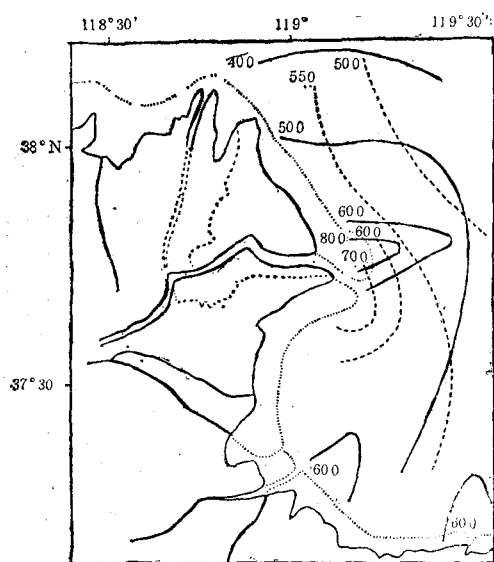


图3 1984年5月和8月黄河口海水
ES的分布($\mu\text{g}/\text{L}$)

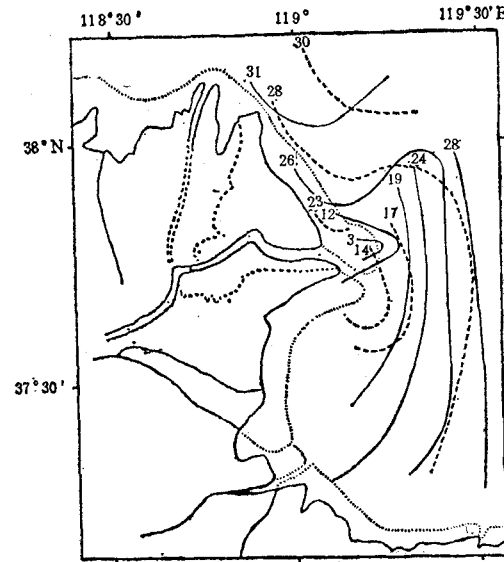


图4 1984年5月和8月黄河口
S(%)分布简图

Fig. 3 Distribution of ES in seawater of Huanghe River estuary in May and Aug. 1984 ($\mu\text{g}/\text{L}$)
--- May; — Aug.
- - - 5月; —— 8月。

Fig. 4 A brief map for distribution of S(%) in Huanghe River estuary in May and Aug. 1984
--- May; — Aug.
- - - 5月; —— 8月。

北方嵌入一股高盐水,以舌状伸向黄河口^[3],强烈阻碍黄河水北上,因此黄河水向北扩散较弱。5月,黄河径流量较小,低盐区主要由河口逐渐向南和东扩散。

黄河口 HS 和 ES 的浓度分布与 S(%) 有密切负相关关系,5月的相关系数分别为 -0.93 和 -0.89,8月的分别为 -0.96 和 -0.75。将 HS + ES 的分布图(图5)与图4相比较,可以看出,不论在5月或8月,HS + ES 的浓度分布趋势基本与黄河水的扩散趋势一致。由此可见,河口区高浓度的 HS 和 ES 是受黄河径流影响的,即黄河水中丰富的有机物质随流进入河口后,其中 HS 和 ES 随着 pH 和 S(%) 的变化而不同程度地凝聚并沉到海底,其浓度逐渐下降。

(5) 黄河口海水 HS 与浮游植物分布¹⁾的关系

春季是浮游植物生长的高峰季节。5月,黄河口区域浮游植物的平均个体数为 139.3×10^4 个/ m^3 ,河口密度最高,大于 300×10^4 个/ m^3 ,由河口向外密度逐渐下降,与同月海水 HS 的分布趋势相似(图6)。8月,河口区浮游植物生长数量较低,平均个体数为 87.2×10^4 个/ m^3 ,口门处正值黄河汛期,径流量大,水质浑浊,透明度小,不宜浮游植物生长,浮游植物密度较高区域分布在河口两侧的近岸处,并由近岸向外密度逐渐下降(图6)。

黄河口海区所以有较高的浮游植物生产力,无疑与黄河径流输入较多营养元素有关,但是不能忽视 HS 所起的重要作用。作者于 1984 年所进行的浮游植物培养实验证

1) 根据郭玉洁等调查资料。

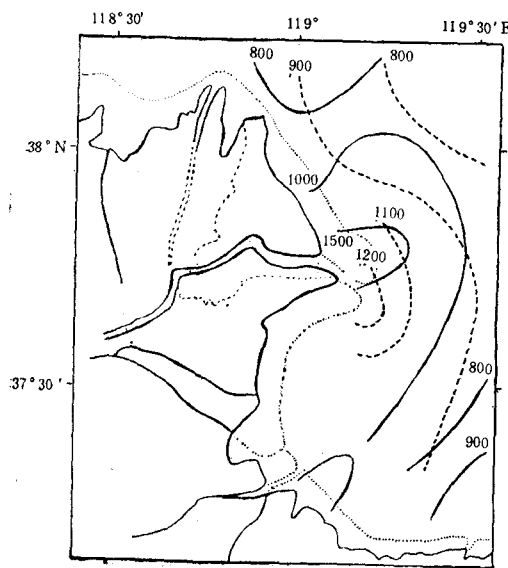


图 5 1984 年 5 月和 8 月黄河口海水 HS + ES 的分布 ($\mu\text{g}/\text{L}$)

Fig. 5 Distribution of HS + ES in seawater of Huanghe River estuary in May and Aug. 1984 ($\mu\text{g}/\text{L}$)
 ----May; ——Aug.
 ---5 月; ——8 月。

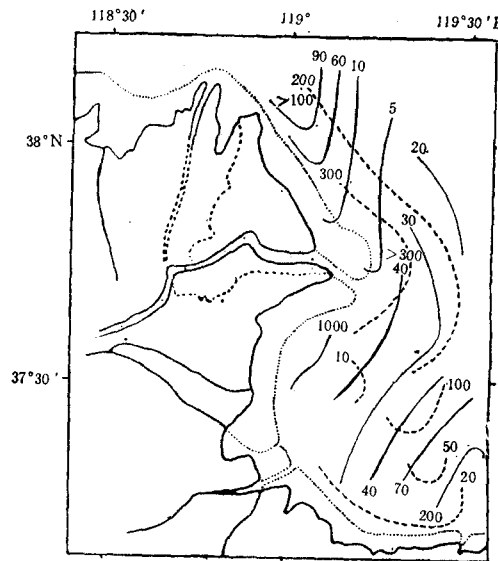


图 6 1984 年 5 月和 8 月黄河口浮游植物总个体数的分布 ($\times 10^4 \text{ 个}/\text{m}^3$)

Fig. 6 Distribution of phytoplankton population in Huanghe River estuary in May and Aug. 1984 ($\times 10^4 \text{ cells}/\text{m}^3$)
 ----May; ——Aug.
 ---5 月; ——8 月。

实^[4], HS 能刺激浮游植物的生长和降低某些重金属离子的毒性。黄河口海区 HS 浓度与浮游植物密度的分布趋势相似, 也说明两者之间存在紧密联系。

2. 黄河口沉积物中 HS 的分布

(1) 黄河口沉积物中 HS 的含量: 由表 3 结果可以看到, 黄河下游 D 站和 F 站沉积物样品的 HS 含量高于河口区沉积物中的含量。

表 3 黄河口沉积物中 HS 的含量

Tab. 3 Contents of HS in sediments of Huanghe River estuary

| 站 号 | 采泥日期 | 泥样外观 | HS 含 量 | | | | | |
|-------|-----------|------|---------------|------------------|------------------|------------------|--|--|
| | | | 总 量 (mg/g) | HA (mg/g) (%) | FA (mg/g) (%) | ES (mg/g) (%) | | |
| 黄河 D | 1984.4.25 | 细黄泥 | 2.213 | 1.112 50.2 | 0.890 40.2 | 0.211 9.6 | | |
| 下 游 F | 4.23 | 细粉砂 | 0.821 | 0.370 45.1 | 0.320 39.0 | 0.131 16.0 | | |
| 平 均 | | | 1.517 | 0.741 | 0.605 | 0.171 | | |
| 河 23 | 1984.5.25 | 细粉砂 | 0.791 | 0.338 42.7 | 0.319 40.3 | 0.134 16.9 | | |
| 31 | 5.23 | 粗粉砂 | 0.942 | 0.380 40.3 | 0.425 45.1 | 0.137 14.5 | | |
| 口 33 | 5.23 | 粉砂质泥 | 1.245 | 0.520 41.8 | 0.515 41.4 | 0.210 16.9 | | |
| 区 41 | 5.23 | 粉砂质泥 | 1.534 | 0.663 43.2 | 0.627 40.9 | 0.244 15.9 | | |
| 平 均 | | | 1.128 | 0.475 | 0.472 | 0.181 | | |

沉积物中 HS 的含量与样品的粒度有关, 粒度越小, HS 含量越高。HS 中各分级产物的比例也与沉积物样品的粒度有关, 细粒沉积物中 HA 所占比例较高, 在粗粒沉积物中, 则 FA 的比例增高。

(2) 黄河口沉积物中 HS 的分布特点: 黄河径流含有丰富的有机物质并挟带大量泥沙, 其中约有三分之二泥沙在河道及河口沉积, 其余约三分之一的细颗粒泥沙漂浮入海。黄河下游河床较宽, 水流因泥沙淤积而经常改道, 河水深浅不一, 底质分布差异较大。D 站处于水流缓慢的河床区, 底质为细黄泥, 其 HS 含量很高, 达 2mg/g 以上; 而 F 站位于水流较急处, 只有较大颗粒泥沙沉积, 底质为细粉砂, HS 含量较低, 小于 1mg/g 。所以黄河下游沉积物中 HS 的含量因底质的粒度分布不一而差异较大。

河口区沉积物中 HS 的含量分布与黄河下游类似, 也是与沉积物的粒度有关。31 站正处于口门处, 大量粗粒物质在此沉积, 底质主要为粗粉砂, HS 含量较低 ($<1\text{mg/g}$)。当粗粒物质在河口下沉以后, 细粒物质则随水流向南和东漂流扩散, 由于水体的 pH 和 $S(\%)$ 骤然增加, 促使金属离子水合物大量沉淀, 同时伴随着细粒物质凝聚, 并在河口南侧和向东方向的海区大量沉积, 形成了那里的底质主要为粉砂质泥。细粒物质包含较多的有机物质和 HS, 其含量随着粒级的变细而增高, 因此粉砂质泥中的 HS 含量也相应较高 ($>1\text{mg/g}$)。河口北侧, 此处海流较强, 黄河入海的细粒物质难以在该处沉积, 粗粒物质的底质较多, 那里沉积物中的 HS 含量也相应较少。

从以上黄河口沉积物中 HS 的分布趋势看, 它与同一海域表层海水中 HS 的分布不完全一致, 它们之间无一定的相关性。而沉积物中 HS 的含量与沉积物粒级粗细变化有着密切关系。这些结果与长江口及东海沉积物中 HS 的分布特点^[6]基本一致。

参 考 文 献

- [1] 纪明侯、曹文达、韩丽君, 1982。海洋腐植质的研究 I. 用 GDX-102 吸附树脂分离海水腐植质。海洋与湖沼 **13**(4): 370—379。
- [2] 庞家珍、司书亨, 1979。黄河口演变。I. 近代史变迁。海洋与湖沼 **10**(2): 136—141。
- [3] 侍茂崇、赵进平、孙月彦, 1985。黄河口附近水文特征分析。山东海洋学院学报 **15**(2): 81—95。
- [4] 曹文达、韩丽君、纪明侯, 1985。海水腐植质对浮游植物——小角刺藻生长的影响。全国第三次腐植酸化学学术讨论会论文集。中国化学会, 132—137 页。
- [5] 曹文达、裘香荃、韩丽君等, 1987。海洋腐植质的研究 II. 海洋沉积物中腐植质的分离及其物理化学性质。海洋与湖沼 **18**(4): 364—370。
- [6] 曹文达、纪明侯、裘香荃等, 1987。海洋腐植质的研究 III. 长江口及东海海水和沉积物中腐植质的分布。海洋与湖沼 **18**(5): 459—468。

STUDIES ON MARINE HUMIC SUBSTANCES IV. THE DISTRIBUTION OF HUMIC SUBSTANCES IN THE SEAWATER AND SEDIMENTS OF HUANGHE RIVER ESTUARY*

Cao Wenda, Qiu Xiangquan and Han Lijun

(Institute of Oceanology, Academia Sinica, Qingdao)

ABSTRACT

Concentrations of humic substances (HS) and alcohol-soluble organic matter (ES) in the seawater from Huanghe River estuary are influenced by Huanghe River current. Their concentrations are inversely related to $S(\%)$ with the correlation coefficients of -0.93 and -0.89 in May, -0.96 and -0.75 in August, respectively. Average concentrations of HS and ES in the seawater also vary with seasons, $433.0 \mu\text{g/L}$ and $597.2 \mu\text{g/L}$ in August, $385.2 \mu\text{g/L}$ and $580.7 \mu\text{g/L}$ in May, respectively. Both concentrations in August are higher than those in May.

Contents of HS in the sediments of Huanghe River estuary vary from 0.791 mg/g to 1.534 mg/g , averaging 1.128 mg/g . Their content distributions are related to the grain size of sediments. The fine grained matter contains more HS.

* Contribution No. 1279 from the Institute of Oceanology, Academia Sinica.